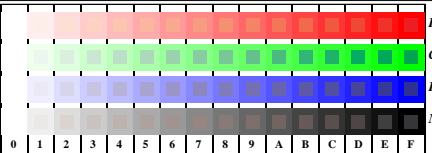


TUB enregistrement: 20150701-TF86/TF86L0N1.TXT/.PS  
application pour la mesure des sorties sur offset

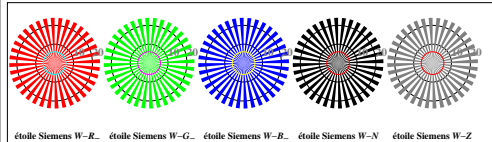
TUB matériel: code=rha4ta



TF861-1, Fig. D4W-: 16 paliers équidistants W-R-, W-G-, W-B-, W-N;  $rgb/cmky0\ set(rgb/cmkyk).color$

+:-.	○	○	○	○	lmno	○	○	○	pgrs	○	○	○	○	○	○	○	○
xyz;	○	○	○	○	hijk	○	○	○	lmno	○	○	○	○	○	○	○	○
tuvw	○	○	○	○	defg	○	○	○	hijk	○	○	○	○	○	○	○	○
pqrs	○	○	○	○	!abe	○	○	○	hijk	○	○	○	○	○	○	○	○
lmno	○	○	○	○	+:-.	○	○	○	xyz;	○	○	○	○	○	○	○	○
hijk	○	○	○	○	xyz;	○	○	○	tuvw	○	○	○	○	○	○	○	○
defg	○	○	○	○	defg	○	○	○	fabc	○	○	○	○	○	○	○	○
fabc	○	○	○	○	6	N	R	G	B	Z							
10	N	R	G	B	Z												

TF860-3, Fig. D1W-: motif fleuri, 14 CIE test couleurs et 2 + 16 paliers de gris (sf); PS opérateur: 4 colorimage

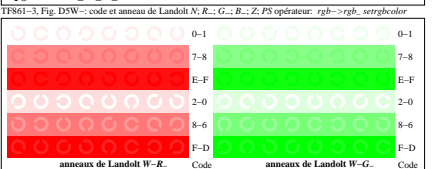


TF860-5, Fig. D2W-: étoile de Siemens W-R-; W-G-; W-B-; W-N-; PS opérateur :  $rgb\ setrgbcolor$

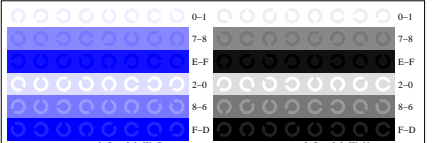


TF860-7, Fig. D3W-: 14 CIE test couleurs et 2 + 16 paliers de gris (sf); PS opérateur:  $rgb/cmky0\ set(rgb/cmkyk).color$

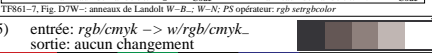
graphique TF86; 4(ISO/IEC 15775 + ISO/IEC TR 24705)  
chromatic graphique de test RGB



TF861-3, Fig. D5W-: code et anneau de Landolt N; R-; G-; B-; Z; PS opérateur:  $rgb \rightarrow rgb\_setrgbcolor$



TF861-5, Fig. D6W-: anneaux de Landolt W-R-; W-G-; PS opérateur:  $rgb\ setrgbcolor$



entrée:  $rgb/cmky \rightarrow w/rgb/cmky_$   
sortie: aucun changement